

ՍՈՒՐԱՆԿԱՐԱ ՏԱԿ ԶՐԱՎԱԶԱՆԻ ԱՓԱԳԻԾՔ ՀԱՏՈՂ ԿԱՏԱՐՅԱԼ ԶՐՀՈՐՆԵՐԻ ՓՈԽԱԶԴԴԵՑՈՒԹՅՈՒՆՆԵՐ

Երևանի համար, գիտ. բեկնածու ԴԻՄԵՏՐԻ ՄԱՐԴՈՅԱՆ *

Ո Ե Ֆ Ե Ր Ա Մ: Մտացված է հայաստում սուրանկյան տակ չրավազանի ափագիծը համարարկացող գրհորների համար: Հայաստար հեռավորության վրա դասավորված փոխազդող գրհորների հայտնի բանաձեռ ստացած բանաձեռ մասնավոր դեպքն է:

Դիտենք ԱՅ ափագիծի նկատմամբ ու սուրանկյան տակ դասավորված չրհորների փոխազդեցությունը (նկ. 1**): Հաշվարքը կատարված է Ձ. Ֆորխենի մեջ՝ կողմից մշակած արտացոլման եղանակով (Փօրհեյմեր, 1935***):
Նշանակենք՝

$$O_1 O_2 = 1, \quad O_1 O_3 = l_1, \quad O_1 O_2^1 = S_{1-2} \quad \text{և} \quad O_1 O_3^1 = S'_{1-3}$$

Փոխազդող չրհորների խմբի համար ունենք հետեւալ հայտնի հայաստամբումը.

$$H^2 - Z^2 = \frac{Q_1}{\pi k} \ln \frac{S_1}{X_1} + \frac{Q_2}{\pi k} \ln \frac{S_2}{X_2} + \dots + \frac{Q_n}{\pi k} \ln \frac{S_n}{X_n} \quad (1)$$

իսկ չրհորներից որևէ մեկի մոտ (օրինակ առաջինի) դրանալիքն չրերի մակարեսի կետի համար կոնկնանք.

$$H^2 - h_i^2 = \frac{Q_1}{\pi k} \ln \frac{2a}{r_1} + \frac{Q_2}{\pi k} \ln \frac{S_{1-2}}{X_{1-2}} + \dots + \frac{Q_n}{\pi k} \ln \frac{S_{1-n}}{X_{1-n}} \quad (2)$$

Տեղանքի ոելիքի գեոմորֆոլոգիալից կախված դրանալիքն չրերի շարժումն ափագիծի նկատմամբ հնարավոր է սուրանկյան տակ: Այս դեպքում կարելի է օգտվել (2) հայաստամբումից՝ հաշվի առնելով $S_{1-2}, S_{1-3}, \dots, S_{1-n}$ համապատասխան արժեքները:

Ափագիծի նկատմամբ ու սուրանկյան տակ դասավորված երեք չրհորների փոխազդեցությունը կարտահայտվի հետեւալ հայաստամբումով:

$$H^2 - h_i^2 = \frac{Q_1}{\pi k} \ln \frac{2a}{r_1} + \frac{Q_2}{\pi k} \ln \frac{S_{1-2}}{l_1} + \frac{Q_3}{\pi k} \ln \frac{S_{1-3}}{l_1} \quad (3)$$

* ՀԱՅՈՅ ԴԱ ԵՐԿՐԱԲԱՆԱԿԱՆ ՊԻՄՈՒԹՅՈՒՆՆԵՐԻ ԻՆՍԻՏՈՒՏԻ ՎԵՈՒՄԵԽԱՆԻԿԱՅԻ բաժնի ավագան աշխատող:

** Նկարը տե՛ս լզ 124:

*** Գրականությունը տե՛ս լզ 123:

$$\begin{aligned} \text{Եռանկունիք } O_1NO_2^{\perp}-\text{ից, } S_{1-2} = & \sqrt{(NO_2^{\perp})^2 + (O_1N)^2} = \\ = & \sqrt{(2b + l \sin z)^2 + (l \cos z)^2} = \sqrt{4b^2 + 4bl \sin z + l^2}; \end{aligned}$$

$$\begin{aligned} \text{Եռանկունիք } O_1MO_3^{\perp}-\text{ից } S_{1-3} = & \sqrt{(MO_3^{\perp})^2 + (O_1M)^2} = \\ = & \sqrt{(2c + l_1 \sin z)^2 + (l_1 \cos z)^2} = \sqrt{4c^2 + 4cl_1 \sin z + l_1^2}; \end{aligned}$$

Տեղադրելով S_{1-2} և S_{1-3} մեծոթունները (3) հավասարման մեջ, կստանանք.

$$\begin{aligned} H^2 - h_1^2 = & \frac{Q_1}{\pi k} \ln \frac{2a}{r_1} + \frac{Q_2}{\pi k} \ln \frac{\sqrt{4b^2 + 4bl \sin z + l^2}}{l} + \\ & + \frac{Q_3}{\pi k} \ln \frac{\sqrt{4c^2 + 4cl_1 \sin z + l_1^2}}{l_1}. \quad (4) \end{aligned}$$

Եթե զբհորների գերիտաները հավասար են, ալիսինքն $Q_1 = Q_2 = Q_3 = Q$, ապա կստանանք.

$$H^2 - h_1^2 = \frac{Q}{\pi k} \ln \frac{2a \sqrt{(4b^2 + 4bl \sin z + l^2)(4c^2 + 4cl_1 \sin z + l_1^2)}}{l_1 r_1} \quad (5)$$

որտեղից զբհորի գերիտի համար կանենանք հետեւալ բանաձեր.

$$Q = \frac{\pi k (H^2 - h_1^2)}{\ln \frac{2a \sqrt{(4b^2 + 4bl \sin z + l^2)(4c^2 + 4cl_1 \sin z + l_1^2)}}{l_1 r_1}} \quad (6)$$

Մասնավոր գեպքում, եթե $z=0^\circ$, ապա $a=b=c$ և հավասարումը կստանա հետեւալ տեսքը.

$$H^2 - h_1^2 = \frac{Q_1}{\pi k} \ln \frac{2a}{r_1} + \frac{Q_2}{\pi k} \ln \frac{\sqrt{4a^2 + l^2}}{l} + \frac{Q_3}{\pi k} \ln \frac{\sqrt{4a^2 + l_1^2}}{l_1} \quad (7)$$

Այդ հավասարումը ափագծից հավասար հեռավորության վրա դասավորված փոխազդող զբհորների խմբի ազդեցության խնդրի հարանի լուծումն է (Կամенский, 1943):

Այս ապացուցման էստացված (4) հավասարման ճշտությունը:

ВЗАИМОДЕЙСТВИЕ СОВЕРШЕННЫХ КОЛОДЦЕВ, РАСПОЛОЖЕННЫХ ПОД ОСТРЫМ УГЛОМ К БЕРЕГУ ВОДОЕМА

Канд. геол.-минер. наук Д. Б. САРКИСЯН*

Р е ф е р а т. Получено уравнение для группы взаимодействующих колодцев, расположенных под острым углом к берегу водоема; известное уравнение для случая колодцев, расположенных на одинаковом расстоянии от берега, является частным случаем выведенного уравнения.

* Старший научный сотрудник отдела геомеханики Института геологических наук АН АрмССР.

Рассмотрим взаимодействие колодцев, расположенных под острым углом α по отношению к берегу АБ (рис. 1*). Расчет произведен по способу отображения, разработанному Ф. Форхгеймером (1935**).

Обозначим: $O_1O_2 = l$; $O_1O_3 = l_1$; $O_1O_2^1 = S_{1-2}$; $O_1O_3^1 = S_{1-3}$.

Для группы взаимодействующих колодцев, расположенных вблизи водоема, имеем следующее известное уравнение:

$$H^2 - Z^2 = \frac{Q_1}{\pi k} \ln \frac{S_1}{X_1} + \frac{Q_2}{\pi k} \ln \frac{S_2}{X_2} + \dots + \frac{Q_n}{\pi k} \ln \frac{S_n}{X_n}, \quad (1)$$

а для точки поверхности грунтовых вод у одного из колодцев (например, у первого) будем иметь:

$$H^2 - h_1^2 = \frac{Q_1}{\pi k} \ln \frac{2a}{r_1} + \frac{Q_2}{\pi k} \ln \frac{S_{1-2}}{X_{1-2}} + \dots + \frac{Q_n}{\pi k} \ln \frac{S_{1-n}}{X_{1-n}}. \quad (2)$$

В зависимости от рельефа местности возможно движение грунтовых вод под острым углом по отношению к берегу водоема. В этом случае можно пользоваться уравнением (2), с учетом соответствующих значений S_{1-2} , S_{1-3} , ..., S_{1-n} .

Взаимодействие трех колодцев, расположенных под острым углом по отношению к берегу водоема, выразится следующей формулой:

$$H^2 - h_1^2 = \frac{Q_1}{\pi k} \ln \frac{2a}{r_1} + \frac{Q_2}{\pi k} \ln \frac{S_{1-2}}{l} + \frac{Q_3}{\pi k} \ln \frac{S_{1-3}}{l_1} \quad (3)$$

$$\text{Из } \Delta O_1NO_2^1 \quad S_{1-2} = \sqrt{(NO_2^1)^2 + (O_1N)^2} = \\ = \sqrt{(2b + 1 \sin \alpha)^2 + (1 \cos \alpha)^2} = \sqrt{4b^2 + 4bl \sin \alpha + l^2};$$

$$\text{Из } \Delta O_1MO_3^1 \quad S_{1-3} = \sqrt{(MO_3^1)^2 + (O_1M)^2} = \\ = \sqrt{(2c + l_1 \sin \alpha)^2 + (l_1 \cos \alpha)^2} = \sqrt{4c^2 + 4cl_1 \sin \alpha + l_1^2}.$$

Подставляя в уравнение (3) значения S_{1-2} , S_{1-3} , получим:

$$H^2 - h_1^2 = \frac{Q_1}{\pi k} \ln \frac{2a}{r_1} + \frac{Q_2}{\pi k} \ln \frac{\sqrt{4b^2 + 4bl \sin \alpha + l^2}}{l} + \\ + \frac{Q_3}{\pi k} \ln \frac{\sqrt{4c^2 + 4cl_1 \sin \alpha + l_1^2}}{l_1}. \quad (4)$$

Если дебиты колодцев одинаковы, т. е. $Q_1 = Q_2 = Q_3 = Q$, то получим:

$$H^2 - h_1^2 = \frac{Q}{\pi k} \ln \frac{2a \sqrt{(4b^2 + 4bl \sin \alpha + l^2)(4c^2 + 4cl_1 \sin \alpha + l_1^2)}}{l_1 r_1}, \quad (5)$$

* Рисунок см. на стр. 124.

** Литературу см. на стр. 123.

откуда для определения дебита каждого из взаимодействующих колодцев получим формулу:

$$Q = \frac{\pi k (H^2 - h_1^2)}{\ln \frac{2a \sqrt{(4b^2 + 4bl \sin z + l^2)(4c^2 + 4cl \sin z + l_1^2)}}{ll_1 r_1}}. \quad (6)$$

При частном случае, когда $z=0^\circ$, то $a=b=c$ и уравнение (4) примет следующий вид:

$$H^2 - h_1^2 = \frac{Q_1}{\pi k} \ln \frac{2a}{r_1} + \frac{Q_2}{\pi k} \ln \frac{\sqrt{4a^2 + l^2}}{l} + \frac{Q_2}{\pi k} \ln \frac{\sqrt{4a^2 + l_1^2}}{l_1}. \quad (7)$$

Уравнение (7) является известным решением взаимодействия групп колодцев, расположенных на одинаковом расстоянии от берега водоема (Каменский, 1943).

INTERACTION OF PERFECT WELLS ARRANGED UNDER A SHARP ANGLE TO WATER BANK

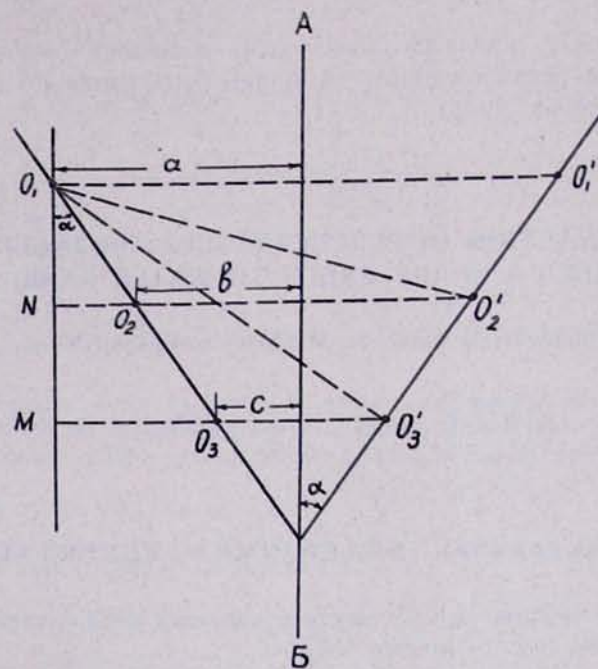
Cand. Geol. Miner. Sc. DIMITRY SARKISSIAN*

Abstract. The equation for a group of interacted wells, arranged under the sharp angle to the water bank is obtained; the known equation for wells arranged at an equal distance from the water bank is a particular case of the deduced equation.

ԳՐԱԿԱՆՈՒԹՅՈՒՆ—ԼԻՏԵՐԱՏՈՒՐԱ—REFERENCES

- Каменский Г. Н., 1943. Основы динамики подземных вод. Госгеолиздат.
Форхгеймер Ф., 1935. Гидравлика. ОМТИ.

* Senior Scientific Worker, Dept. of Geomechanics, Geological Institute, Armenian Academy of Sciences.



Նկ. 1. Ջրավազանի ափագծի մոտ փախազդող չշինուների դասավոր-ման սխեմա:

Рис. 1. Схема расположения взаимодействующих колодцев у берега водоема.